

# مروزی بر تاثیر کمک‌سینترهای اکسیدی بر رفتار سینترپذیری کامپوزیت‌های کاربید بور (B<sub>4</sub>C)

مهدی شکوری دیسفانی<sup>۱</sup>، مینا سعیدی حیدری<sup>۲\*</sup>، حمید رضا بهاروندی<sup>۳</sup>

۱- دانشجوی کارشناسی ارشد مهندسی مواد مرکب، دانشگاه صنعتی مالک اشتر تهران، تهران، ایران

۲- دانشجوی دکترا، دانشگاه آزاد اسلامی، واحد تهران جنوب، باشگاه پژوهشگران جوان و نخبگان، تهران، ایران

۳- دانشیار، مجتمع مواد و فناوری‌های ساخت، دانشگاه صنعتی مالک اشتر تهران، تهران، ایران

\*Minasaeedi85@gmail.com

(تاریخ دریافت: ۹۲/۱۲/۱۵، تاریخ پذیرش: ۹۳/۰۲/۰۸)

## چکیده

کاربید بور به دلیل خواصی مانند سختی بالا، مدول یانگ بالا و وزن مخصوص پائین بسیار مورد توجه است، با این حال کاربرد آن به علت مشکل در زینتر پذیری، چرمگی شکست پائین و مقاومت به اکسیداسیون کم در دماهایی بیشتر از ۱۰۰۰ درجه سانتی‌گراد، نسبتاً محدود شده است. به دست آوردن کاربید بور با دانسیته بالا به وسیله روش‌های سینتر رایج بسیار مشکل و پر هزینه بوده که علت آن نقطه ذوب بالا، پیوندهای کوالانس، ضربه نفوذ در خود پائین و فشار بخار بالای آن می‌باشد. تحقیقات زیادی برای بهبود شرایط سینتر با روش‌های مختلف و استفاده از کمک زینترهای گوناگون صورت گرفته است. اغلب مشاهده شده که مقادیر کمی از اکسیدها در بهبود زینترینگ سرامیک‌های غیر اکسیدی موثر بوده‌اند. در این مقاله اثر کمک سینترهای اکسیدی مختلف بر رفتار سینتر و خواص مکانیکی کاربید بور گزارش شده است.

## واژه‌های کلیدی :

کاربید بور، افروزنی، خواص فیزیکی و مکانیکی، سینترپذیری، چرمگی شکست.

## ۱- مقدمه

برای بسیاری از کاربردهای صنعتی ارزشمند می‌سازد [۱ و ۵]. به همین دلیل در کاربردهای پوشش زرهای در هلی کوپرهای، جلیقه‌های ضد گلوله، آستر داخل راکتورهای گازی، پوشش‌ها، ابزارهای محافظ در مقابل تابش نوترون در راکتورهای هسته‌ای، ابزارهای سایشی، افشارنک‌های ماسه‌پاشی، چرخ‌های سنگ زنی در پولیش کاری محیط و فیرها برای کامپوزیت سرامیکی تقویت شده استفاده می‌شود [۶-۱۳]. با این حال استحکام و چرمگی شکست نسبتاً کم کاربید بور کاربرد آن را به عنوان

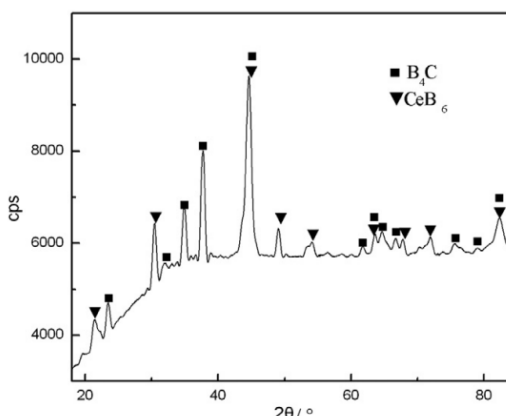
کاربید بور با دانسیته ۲/۵۲-۲/۴ گرم بر سانتیمتر مکعب، نقطه ذوب ۲۴۴۷ درجه سانتی‌گراد، دمای جوش بالاتر از ۳۵۰۰ درجه سانتی‌گراد و هدایت حرارتی کمتر از SiC، سخت‌ترین ماده بعد از الماس و نیترید بور مکعبی می‌باشد. مقاومت به اکسیداسیون آن نسبت به کاربید سیلیسیم ضعیف‌تر بوده چرا که اکسید بور نقطه ذوب پایینی داشته و نمی‌تواند پوشش محافظتی برای کاربید بور باشد [۱-۴]. خواص بر جسته کاربید بور همانند سختی، سفتی، مقاومت به سایش، خنثایی شیمیایی و دانسیته کم، آن را

تاثیر کمک سینترهای اکسیدی مختلف بر رفتار سینتر  $B_4C$  و خواص آن بررسی شده است.

## ۲- اثر افزودن مواد مختلف بر رفتار سینتر و خواص $B_4C$

تاکنون اثر افزودنی‌های بسیاری بر سینترپذیری و خواص مکانیکی کاربید بور بررسی شده است و در این بخش سعی شده که اثر افزودنی‌های اکسیدی مختلف که منجر به بهبود سینترپذیری و خواص کاربید بور می‌شوند، گزارش شود.

**۲-۱- تاثیر افزودن  $CeO_2$  بر رفتار سینتر و خواص  $B_4C$**   
 طی چند سال اخیر، ایده جدیدی برای افزایش خواص مکانیکی سرامیک‌های  $B_4C$  مطرح شده که استفاده از بورايدهای نایاب زمینی (La,Ce,Gd) و اکسید آن‌ها می‌باشد. این مواد منجر به بهبود خواص مکانیکی سرامیک  $B_4C$  شده‌اند [۴۲]. شکل ۱ الگوی XRD سرامیک کامپوزیتی  $B_4C$  و  $4\% CeO_2$  درصد وزنی در بعد از پرس گرم در ۱۹۵۰ درجه سانتی گراد نشان می‌دهد. در این شکل اثری از  $CeO_2$  دیده نشده و فاز جدید  $CeB_6$  در دمای سینتر تشکیل شده است.

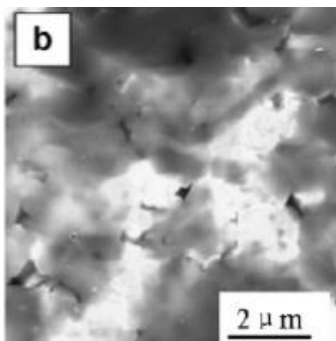


شکل (۱): الگوی XRD  $B_4C$  و  $4\% CeO_2$  در بعد از پرس گرم در ۱۹۵۰ °C [۴۲].

رابطه بین دانسیته نسبی و غلظت  $CeO_2$  در شکل ۲ نشان داده شده است.

مواد سازه‌ای محدود کرده است [۷]. کاربید بور به علت پیوند کوالانت، پلاستیسیته کم، مقاومت بالا در برابر لغزش مرز دانه و تنفس سطحی کم در حالت جامد زینتر پذیری خوبی ندارد [۸-۱۴]. پیوندهای کوالانت در کاربید بور منجر به فعال شدن مکانیزم‌های انتقال جرم و نفوذ حجمی در دماهای بالا می‌شوند و این دماها نزدیک به نقطه ذوب می‌باشد. در دماهای بالای ۲۰۰۰ درجه سانتی گراد، درشت دانه شدن به سرعت انجام شده و در نتیجه تخلخل‌های به دام افناوه را که غیر قابل حذف هستند، بر جای می‌گذارد [۸]. تراکم کاربید بور به صورتیکه منجر به کاهش خواص مکانیکی نشود، از طریق افزودن کمک زینتر مناسب و یا اعمال فشار خارجی بالا (یعنی پرس گرم، پرس ایزواستاتیک گرم) امکان پذیر است [۱۶]. با توجه به هزینه بالای روش‌های همراه با فشار تاکنون کمک زینترهای بسیاری مورد بررسی قرار گرفته‌اند. این مواد به تنها یا به علت واکنش درجا با کاربید بور و تشکیل یک فاز ثانویه غیر فرار، به تراکم و بهبود خواص کمک می‌کنند [۱۴].

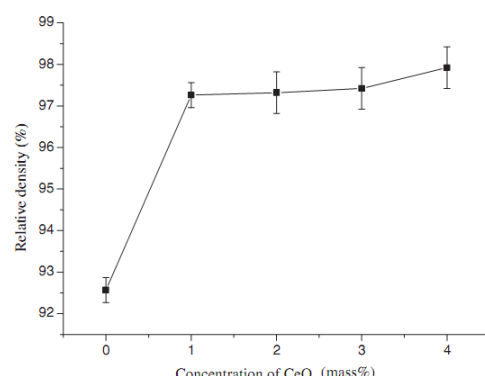
تاکنون کمک سینترهای فلزی مانند Fe [۱۷-۱۹]، Mg [۲۰]، Ti [۲۱] و Si [۲۲]، Al [۲۳-۲۸] و ... برای ایجاد محیطی که سینتر فاز مایع انجام شود به کار گرفته شده‌اند، با این حال فازهای فلزی عموماً در مرز دانه‌ها خواص سرامیک‌های سخت را تخریب می‌کنند. سرامیک‌های غیر اکسیدی همانند  $W_2B_5$  [۳۳-۳۵]،  $TiC$  [۳۶] و  $SiC$  [۳۷-۴۰] ... نیز به عنوان افزودنی‌های مناسبی به  $B_4C$  اضافه شده‌اند. اما در این حالت یا مقدار زیادی از فاز دوم و یا دمای سینتر زیادی برای رسیدن به تراکم بالا نیاز است [۴۱]. حتی در حضور افزودنی‌هایی مانند  $Al$ ،  $C$ ،  $TiB_2$  و  $Mg$  نیز نمی‌توان کاربید بور را در دماهای کمتر از ۲۰۰۰ درجه سانتی گراد سینتر کرد. اغلب مشاهده شده است که مقادیر کمی از کمک سینترهای اکسیدی در بهبود سینترپذیری سرامیک‌های غیر اکسیدی موثر بوده‌اند. مطالعات محدودی روی استفاده از اکسیدهایی مثل  $TiO_2$  و  $ZrO_2$  برای کاهش دمای سینتر  $B_4C$  انجام شده است [۷]. در تحقیق حاضر



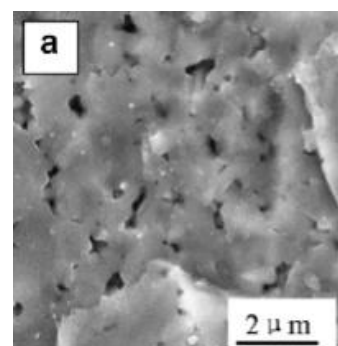
شکل (۳): تصویر SEM سطح شکست سرامیک  $B_4C$  بعد از پرس گرم در ۱۹۵۰ درجه سانتی گراد (a) سرامیک  $B_4C$  و (b) سرامیک کامپوزیت  $B_4C$  با افزون  $CeO_2$  (درصد وزنی) [۴۲].

شکل ۴، تغییرات سختی ویکرز کامپوزیت  $B_4C$ - $CeO_2$ - $CeB_6$  را با افزایش میزان  $CeO_2$  نشان می‌دهد. سختی کامپوزیت  $B_4C$ - $CeO_2$ - $CeB_6$  با افزایش مقدار  $CeO_2$  زیاد می‌شود. عموماً سختی  $B_4C$ - $CeO_2$ - $CeB_6$  کمتر از این مقدار است. بنابراین باید سختی کامپوزیت  $B_4C$ - $CeO_2$ - $CeB_6$  کمتر از  $B_4C$  باشد. اما در واقع سختی کامپوزیت  $B_4C$ - $CeO_2$ - $CeB_6$  به میزان زیادی از  $B_4C$ - $CeO_2$ - $CeB_6$  بیشتر است و این به دلیل افزایش دانسیته ماده است که به شدت سختی را تحت تاثیر قرار می‌دهد. همانطور که در شکل ۳ نشان داده شده است، تخلخل‌های زیادی در سرامیک  $B_4C$  وجود دارند. اما چنانچه مقدار  $CeO_2$  افزایش یابد، دانسیته سرامیک  $B_4C$  به صورتیکه در شکل ۲ و شکل ۳ نشان داده شده است، زیاد می‌شود. علاوه بر این  $CeB_6$  از رشد ذرات در کامپوزیت جلوگیری کرده و ذرات را ریز و کوچک نگه می‌دارد. بنابراین سختی ویکرز سرامیک‌های  $B_4C$  با  $CeO_2$  به صورتیکه در شکل ۴ نشان داده شده، زیاد می‌شود. شکل ۴-۴ تاثیر افزودنی  $CeO_2$  را بر استحکام خمثی کامپوزیت  $B_4C$ - $CeO_2$ - $CeB_6$  نشان می‌دهد. استحکام خمثی با افزایش غلظت  $CeO_2$  به بالای ۴ درصد وزنی و به طور مداوم زیاد می‌شود که به علت ریز دانه و یکنواخت شدن ریزساختار است که همراه با کاهش تخلخل‌ها طی تشکیل  $CeB_6$  می‌باشد.

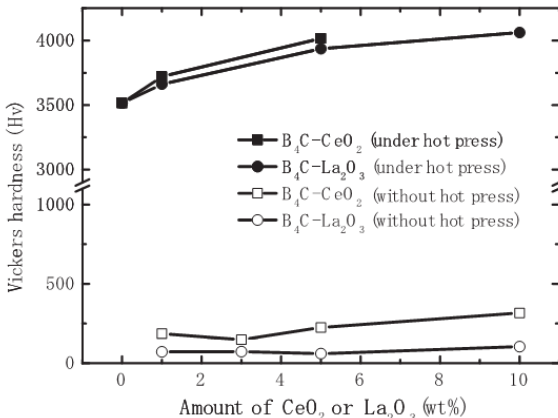
شکل ۴-۵، تغییرات چقرمگی شکست را با غلظت  $CeO_2$  نشان می‌دهد. شب چقرمگی شکست نیز مشابه استحکام خمثی



شکل (۲): رفتار متراکم شدن  $B_4C$  با افزون  $CeO_2$  بعد از پرس گرم در ۱۹۵۰ درجه سانتی گراد [۴۲].



**۲-۲- مقایسه اثر افزودن  $\text{CeO}_2$  و  $\text{La}_2\text{O}_3$  بر رفتار سیتر و خواص  $\text{B}_4\text{C}$**   
 ساکاموتو<sup>۰</sup> و همکارانش [۴۳] تاثیر افزودن  $\text{CeO}_2$  و  $\text{La}_2\text{O}_3$  را بر ریزاسختار و خواص مکانیکی  $\text{B}_4\text{C}$  بررسی کردند. شکل ۵ میکروسختی ویکرز نمونه‌های پرس گرم شده و بدون پرس گرم را نشان می‌دهد.

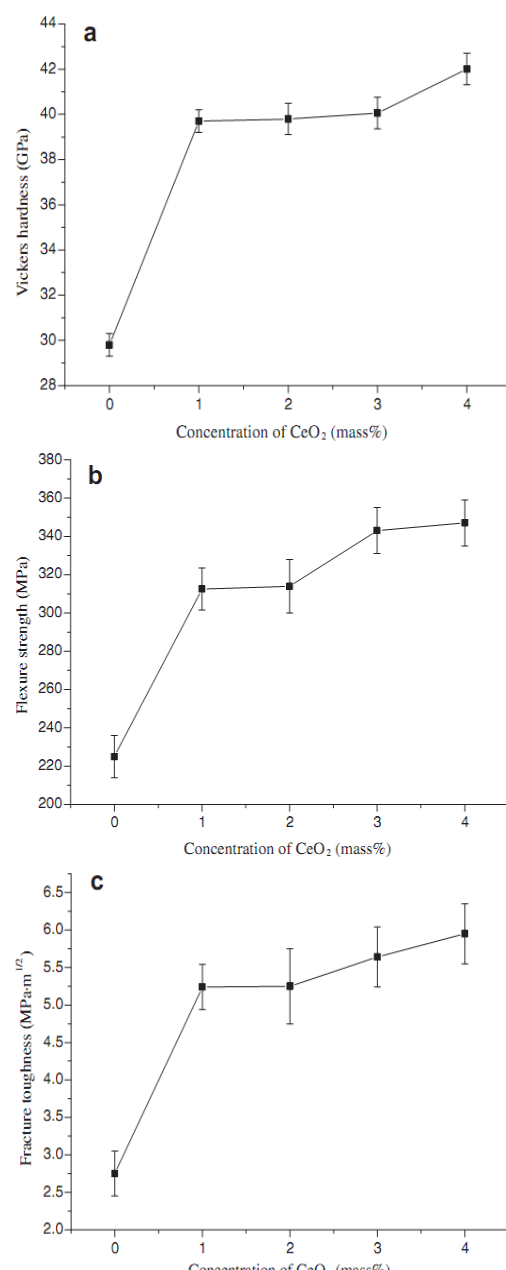


شکل (۵): میکروسختی ویکرز سرامیک‌های  $\text{B}_4\text{C}$ -  $\text{B}_4\text{C}-\text{La}_2\text{O}_3$  و  $\text{CeO}_2$  [۴۳]

سختی نمونه‌هایی که با پرس گرم درست شده‌اند نسبت به آن‌هایی که بدون پرس گرم هستند، بیشتر می‌باشد. در نمونه‌های ساخته شده با پرس گرم، سختی با افزایش مقدار  $\text{CeO}_2$  و  $\text{La}_2\text{O}_3$  افزایش پیدا می‌کند. همچنین سختی نمونه‌های  $\text{B}_4\text{C} - \text{CeO}_2$  تولید شده با پرس گرم از سختی نمونه‌های  $\text{B}_4\text{C} - \text{La}_2\text{O}_3$  تولید شده با پرس گرم بیشتر است. نمونه‌های بدون پرس گرم سختی کمی دارند و وابستگی سختی به مقدار افزودنی زیاد نمی‌باشد [۴۳].

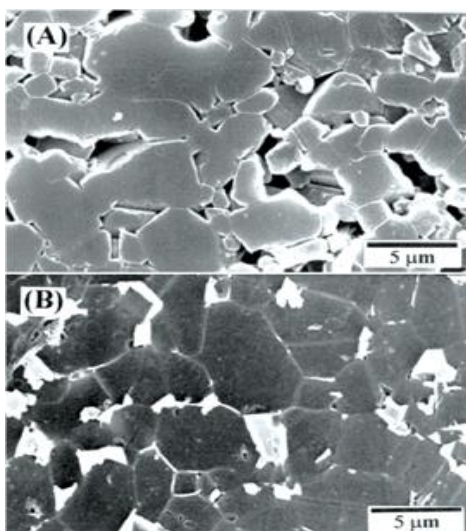
شکل ۶، تصاویر SEM نمونه‌های  $\text{B}_4\text{C} - \text{CeO}_2$  بدون پرس گرم را نشان می‌دهد. پرس گرم، به شدت آهنگ سیتر را افزایش داده و تخلخل را کاهش می‌دهد. تخلخل به عنوان نقطه آغازی ترک عمل کرده، لذا سختی با وجود ترک کاهش می‌یابد. تخلخل با افزایش مقدار  $\text{CeO}_2$  کاهش می‌یابد. این نتایج کاملاً مطابق با افزایش سختی از طریق افزایش  $\text{CeO}_2$  است [۴۳].

می‌باشد. با افزون  $\text{CeO}_2$  چقرمگی شکست به طور ناگهانی افزایش یافته و همچنین به تدریج با بالا رفتن غلظت تا ۴ درصد وزنی  $\text{CeO}_2$ ، ادامه می‌یابد [۴۲].



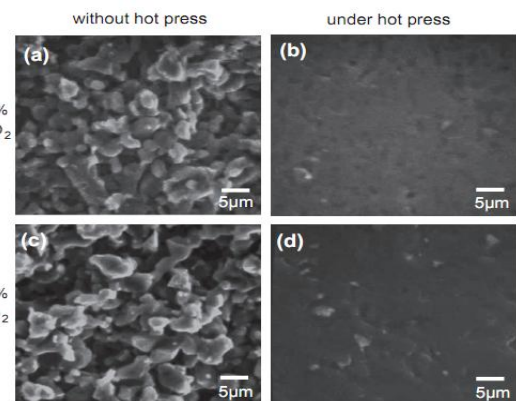
شکل (۴): خواص مکانیکی کامپوزیت  $\text{B}_4\text{C}$  با افزون  $\text{CeO}_2$  بعد از پرس گرم در ۱۹۵۰ درجه سانتی گراد، (a) سختی ویکرز (b) استحکام خمشی و (c) چقرمگی شکست [۴۲].

سیترپذیری کاربیدبور با استفاده از افزودنی  $\text{Al}_2\text{O}_3$  به طور قابل ملاحظه‌ای افزایش می‌یابد که علت آن افزایش جریان پذیری عناصر در اثر حضور  $\text{Al}_2\text{O}_3$  در نزدیکی دمای ذوب یا واکنش‌های انجام یافته در مرزدانه‌ها است. همراه با افزایش سیترپذیری و در نتیجه متراکم شدن، خواص مکانیکی از قبیل سختی، مدول الاستیک و تافنس شکست افزایش می‌یابد [۴۶]. کیم<sup>۵</sup> و همکارانش [۴۱] سیتر  $\text{B}_4\text{C}$  را با افزودن ۱۰ درصد حجمی  $\text{Al}_2\text{O}_3$  بررسی نموده‌اند. در شکل ۸، اثر افزودن آلومینا بر ریزاساختار  $\text{B}_4\text{C}$  نمایش داده شده است. در شکل a-۸ به خوبی مشاهده می‌شود که قطعات  $\text{B}_4\text{C}$  خالص که در دمای  $2000^\circ\text{C}$  سیتر شده‌اند، دانسیته کمی دارند در حالیکه قطعات تهیه شده با ۵ درصد حجمی از  $\text{Al}_2\text{O}_3$ ، کاملاً چگال می‌باشند. در شکل b-۸، فاز ثانویه‌ای در مرزدانه‌ها نیز دیده می‌شود. به نظر کیم و همکارانش این فاز می‌تواند  $\text{Al}_2\text{O}_3$  یا ترکیبات آن با  $\text{B}_4\text{C}$  باشد. به هر حال وقتی مقدار  $\text{Al}_2\text{O}_3$  افزوده شده کمتر از ۵ درصد حجمی باشد، این فاز مشاهده نمی‌شود. بر اساس گزارش‌های قبلی، این فاز می‌تواند ناشی از واکنش مابین  $\text{B}_4\text{C}$  و آلومینا بوده و احتمالاً فاز  $\text{AlB}_{12}\text{C}_2$  است که در  $2150^\circ\text{C}$  تشکیل می‌شود و مشخص شده است که  $\text{AlB}_{12}\text{C}_2$  با سد دیفوژیون پایین خود منجر به افزایش تراکم پذیری  $\text{B}_4\text{C}$  می‌شود [۴۱].

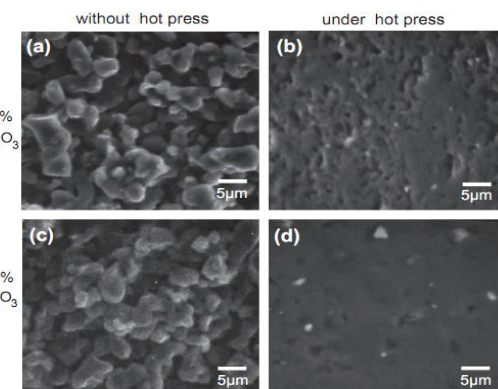


شکل (۸): تاثیر افزایش آلومینا بر ریزاساختار کامپوزیت (A) و (B)  $\text{B}_4\text{C}-\text{Al}_2\text{O}_3$ . [۴۵]

با افزودن  $\text{La}_2\text{O}_3$  روند مشابهی در شکل ۷ مشاهده می‌شود، اما شایان توجه است که افزودن  $\text{CeO}_2$  آهنگ سیتر را نسبت به آنچه که برای  $\text{La}_2\text{O}_3$  است، بیشتر افزایش می‌دهد. تخلخل در  $\text{B}_4\text{C}-\text{La}_2\text{O}_3$ - $\text{CeO}_2$  نسبت به  $\text{B}_4\text{C}-\text{La}_2\text{O}_3$  کمتر است که در شکل‌های ۶ و ۷ نشان داده شده است. این نتایج در تطبیق خوبی با این واقعیت هستند که سختی  $\text{CeO}_2$ - $\text{B}_4\text{C}$  پرس گرم شده از سختی  $\text{B}_4\text{C}-\text{La}_2\text{O}_3$  پرس گرم شده بیشتر می‌باشد [۴۳].



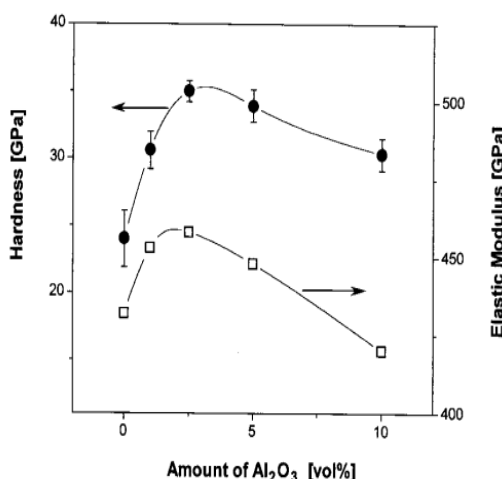
شکل (۶): تصاویر SEM نمونه‌های  $\text{B}_4\text{C}$  با ۱ و ۵ درصد وزنی  $\text{CeO}_2$  تحت پرس گرم و بدون پرس گرم [۴۳].



شکل (۷): تصاویر SEM نمونه‌های  $\text{B}_4\text{C}$  با ۱ و ۵ درصد وزنی  $\text{La}_2\text{O}_3$  تحت پرس گرم و بدون پرس گرم [۴۳].

### ۲-۳-۲- تاثیر افزودن $\text{Al}_2\text{O}_3$ بر رفتار سیتر و خواص $\text{B}_4\text{C}$

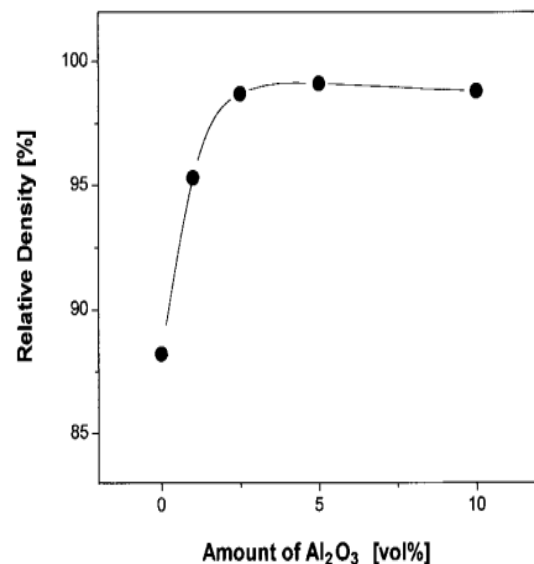
افزودنی دیگری که به عنوان کمک سیتر جهت بهبود خواص سیتر  $\text{B}_4\text{C}$  مورد استفاده قرار گرفته است،  $\text{Al}_2\text{O}_3$  می‌باشد.



شکل (۱۰): تغییرات ریزسختی و یکرز و مدول الاستیک قطعات سینتر شده کاربید بور با پرس گرم در دمای  $2000^{\circ}\text{C}$  برای ۱ ساعت بر حسب تابعی از مقدار  $\text{Al}_2\text{O}_3$  [۴۵].

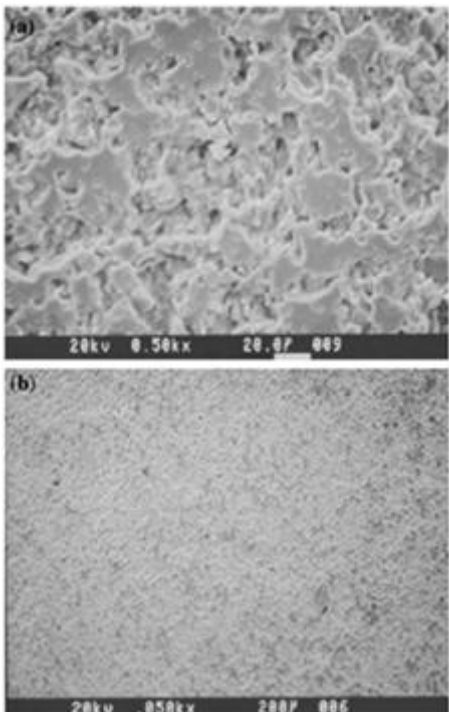
وجود تخلخل و حفرات اثر تعیین کننده‌ای بر سختی و مدول الاستیک دارند. کاهش خواص برای مقادیر بیش از  $2/5$  درصد حجمی از  $\text{Al}_2\text{O}_3$  بر اساس نظر این محققین به قانون اختلاط فازها نسبت داده می‌شود که با افزایش درصد  $\text{Al}_2\text{O}_3$  که سختی و مدول الاستیک کمتری دارد، خواص مذکور کاهش می‌یابند. عدم تطابق ضریب انبساط حرارتی آلومینا با  $\text{B}_4\text{C}$  عامل مهم دیگری در ایجاد این اثرات می‌باشد. این عدم تطابق در ضرایب انبساط حرارتی در حین سرد کردن منجر به ایجاد ریزترک‌هایی شده که وجود این ریزترک‌ها به عقیده محققین نظری سیگل<sup>۱</sup> - [۴۷] - [۴۸] تاثیر زیادی بر کاهش سختی و مدول الاستیک دارد. افروden  $\text{Al}_2\text{O}_3$  اثرات مشابهی بر چهارمگی شکست و استحکام خمثی تا  $2/5$  درصد حجمی دارد. با افزایش  $2/5$  درصد حجمی  $\text{Al}_2\text{O}_3$ ، استحکام خمثی به  $550 \text{ MPa}$  رسیده که  $200 \text{ MPa}$  بیش از  $\text{B}_4\text{C}$  خالص می‌باشد. این محققین دلیل این امر را به کاهش تخلخل موجود در ساختار نسبت می‌دهند. با افزایش مقدار آلومینا به بیش از  $2/5$  درصد حجمی، استحکام خمثی کاهش یافته که این کاهش به ایجاد تنش‌های پسماند گرمایی نسبت داده می‌شود که شبیه اثر آن در مورد سختی و مدول الاستیک نیز مشاهده می‌شود.

تغییرات دانسیته نسبی قطعات سینتر شده کاربید بور با پرس گرم در دمای  $2000^{\circ}\text{C}$  برای ۱ ساعت بر حسب تابعی از مقدار  $\text{Al}_2\text{O}_3$  در شکل ۹ نمایش داده شده است. همانگونه که مشاهده می‌شود با افزایش مقدار ناچیزی از  $\text{Al}_2\text{O}_3$ ، دانسیته افزایش یافته است. با افزایش  $1$  درصد آلومینا، دانسیته قطعات کاربید بور از  $88$  درصد به  $95$  درصد می‌رسد و با افزودن  $2/5$  درصد، قطعات کاملاً چگال می‌شوند. با افزودن مقادیر بیشتر از  $\text{Al}_2\text{O}_3$  دانسیته تغییر چندانی نمی‌کند [۴۵].

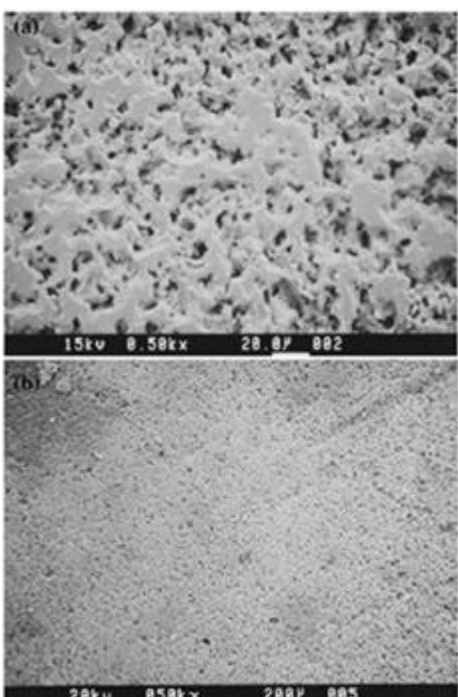


شکل (۹): تغییرات دانسیته نسبی قطعات سینتر شده کاربید بور با پرس گرم در دمای  $2000^{\circ}\text{C}$  برای ۱ ساعت بر حسب تابعی از مقدار  $\text{Al}_2\text{O}_3$  [۴۵].

با افزایش دانسیته خواص مکانیکی نیز بهبود می‌یابد. اثر افزایش  $\text{Al}_2\text{O}_3$  بر سختی و مدول الاستیک کاربید بور در شکل ۱۰ مشخص و مشهود می‌باشد که با افزودن  $2/5$  درصد  $\text{Al}_2\text{O}_3$ ، هر دو خاصیت مذکور افزایش یافته و سپس کاهش می‌یابد. سختی از  $24 \text{ GPa}$  به  $35 \text{ GPa}$  برای مقادیر  $2/5$  درصد حجمی از  $\text{Al}_2\text{O}_3$  رسیده است که این اثر به کاهش تخلخل نسبت داده می‌شود.



شکل (۱۱): میکروگراف‌های SEM از نمونه‌های سیتر شده در دمای  $2050^{\circ}\text{C}$  به مدت ۱h (a)  $\text{B}_4\text{C}$  بدون زیرکونیا  $\text{B}_4\text{C}$  (b) همراه با ۳% درصد وزنی  $(\text{ZrO}_2 - 3\% \text{ mol Y}_2\text{O}_3)$ .



شکل (۱۲): میکروگراف‌های SEM از نمونه‌های سیتر شده در دمای  $2050^{\circ}\text{C}$  به مدت ۱h (a)  $\text{B}_4\text{C}$  بدون زیرکونیا  $\text{B}_4\text{C}$  (b) همراه با ۳% درصد وزنی  $(\text{ZrO}_2 - 3\% \text{ mol Y}_2\text{O}_3)$ .

چقزمگی شکست با افزایش ۱۰ درصد حجمی  $\text{Al}_2\text{O}_3$  افزایش می‌یابد. وجود تشن‌های پسماند گرمایی که در مورد سایر خواص اثر منفی داشت، در اینجا مفید به نظر می‌رسد. از طرف دیگر وجود تشن‌های کششی در جهت شعاع ذرات  $\text{Al}_2\text{O}_3$  منجر به پدیده انحراف ترک یا حتی تولید ریزترک‌هایی شده که چقزمگی را بهبود می‌بخشد.

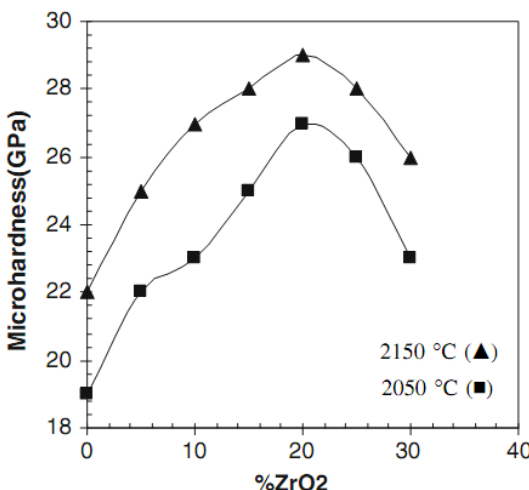
در کار تحقیقاتی دیگری از ویسکرهای آلومینایی به عنوان فاز ثانویه استفاده شده است. نتایج ارائه شده بیانگر تاثیر مفید این مواد بر خواص کامپوزیت حاصل می‌باشد [۴۴ و ۴۸].

#### ۴-۲- اثر $\text{ZrO}_2$ بر رفتار سیتر و خواص $\text{B}_4\text{C}$

در تحقیقی که به وسیله بهاروندی و همکارانش [۷] انجام شده، تاثیر افزودن  $\text{Y}_2\text{O}_3$ -۳% mol بر متراکم شدن، رفتار سیتر و خواص مکانیکی کاربید بور بررسی شده است. زمانیکه ۰-۷۵ درصد وزنی  $\text{ZrO}_2$ -۳% mol  $\text{Y}_2\text{O}_3$  افزوده می‌شود، دانسیته از ۹۸/۵ درصد افزایش پیدا می‌کند. قابلیت سیتر شدن  $\text{ZrO}_2$ -۳% mol  $\text{Y}_2\text{O}_3$  به طور چشمگیری با افزودن مقدار کمی از  $\text{Y}_2\text{O}_3$  بهبود یافته و به عنوان نتیجه بهبود دانسیته، خواص مکانیکی مثل سختی و استحکام شکست نیز به طور قابل ملاحظه‌ای افزایش می‌یابد. زمانی که مقدار  $\text{ZrO}_2$ -۳% mol  $\text{Y}_2\text{O}_3$  بالای ۲۰ درصد وزنی باشد، سختی شروع به کاهش می‌کند.

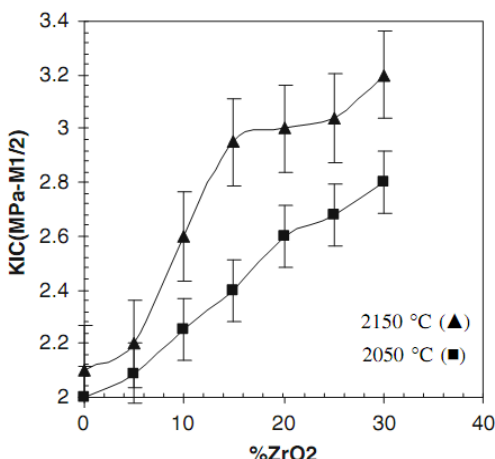
شکل ۱۱ میکروگراف‌های SEM را از نمونه‌های دارای صفر تا ۳۰ درصد وزنی  $\text{ZrO}_2$  که در  $2050^{\circ}\text{C}$  به مدت یک ساعت سیتر شده‌اند، نشان می‌دهد. همانطور که مشاهده می‌شود با افزایش  $\text{ZrO}_2$  نه تنها اندازه ذرات کاهش می‌یابد بلکه میزان تخلخل‌ها نیز کم می‌شود.

مقدار  $\text{ZrO}_2$  کاهش یافته که این به دلیل تشکیل فاز  $\text{ZrB}_2$  با سختی کمتر می‌باشد.



شکل (۱۴): تاثیر افزودن  $\text{ZrO}_2$  بر روی میکرو سختی و یکرزن نمونه‌های سینتر شده در دماهای مختلف [۷].

شکل ۱۵ تاثیرات افزودن  $\text{ZrO}_2$  را بر چermگی شکست نمونه‌های دارای صفر تا ۳۰ درصد وزنی  $\text{ZrO}_2$  در ترکیب نشان می‌دهد. در این شکل مشاهده می‌شود که با افزایش مقدار  $\text{ZrO}_2$  چermگی نمونه‌ها افزایش یافته که این موضوع مربوط به مقدار کمتر تخلخل، دانسیته بالا و همچنین حضور فاز  $\text{ZrB}_2$  در ریزساختار در چنین نمونه‌هایی می‌باشد.

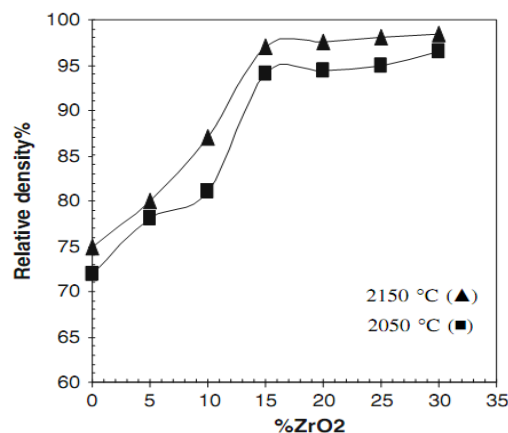


شکل (۱۵): تاثیر افزودن  $\text{ZrO}_2$  بر روی چermگی شکست نمونه‌های سینتر شده در دماهای مختلف [۷].

شکل ۱۲ تصاویر SEM همان ترکیب را که در ۲۱۵۰ °C به مدت یک ساعت سینتر شده نشان می‌دهد. مقایسه بین تصاویر ۱۱-a و ۱۲-a ثابت می‌کند که برای  $\text{B}_4\text{C}$  خالص افزایش دمای سینتر تاثیر زیادی بر کاهش میزان تخلخل‌ها ندارد. همچنین واضح است که درشت دانه شدن برای نمونه‌هایی که در ۲۱۵۰ °C سینتر شده‌اند، رخ داده است [۷].

شکل ۱۳ تاثیر افزودن  $\text{ZrO}_2$  را روی دانسیته نسبی نمونه‌هایی که در ۲۰۵۰ و ۲۱۵۰ درجه سانتی‌گراد سینتر شده‌اند نشان می‌دهد. مشاهده می‌شود که با افزایش مقدار  $\text{ZrO}_2$  دانسیته نسبی افزایش  $\text{ZrO}_2$  پیدا کرده و لذا دانسیته ترکیبی که دارای ۳۰ درصد وزنی  $\text{ZrO}_2$  است، بالاتر از بقیه می‌باشد.

همچنین مشاهده می‌شود که با افزایش دمای سینتر، دانسیته نسبی نیز زیاد می‌شود. با افزودن ۱۵ درصد وزنی  $\text{ZrO}_2$  و سینتر در دمای ۲۱۵۰ درجه سانتی‌گراد، نمونه‌هایی که دارای ۹۷ درصد دانسیته تئوری هستند، به دست می‌آیند. اما دانسیته‌ی نمونه‌های بدون  $\text{ZrO}_2$  حدود ۷۵ درصد دانسیته‌ی تئوری بوده است [۷].



شکل (۱۳): تاثیر افزودن  $\text{ZrO}_2$  بر روی دانسیته‌ی نسبی نمونه‌های سینتر شده در دماهای مختلف [۷].

افزودن  $\text{ZrO}_2$  حتی بر خواص مکانیکی تاثیر قابل توجهی دارد. در شکل ۱۴ سختی نمونه‌ها به صورت تابعی از درصد  $\text{ZrO}_2$  نشان داده شده است. شکل نشان می‌دهد که با افزایش  $\text{ZrO}_2$  تا بالای ۱۵ درصد وزنی، سختی زیاد شده و پس از آن با افزایش

می‌تواند اثرات بسیار مفیدی در بهبود خواص مکانیکی همراه با کاهش دمای سینتر داشته باشد.

شور و خود<sup>۷</sup> اثر افزایش  $TiO_2$  و کربن را بر خواص سینتر  $B_4C$  بررسی نموده است [۴۹]. مقدار  $TiO_2$  و کربن به گونه‌ای در نظر گرفته شد که پس از سینتر مقادیر صفر تا ۲۵ درصد حجمی از فاز  $TiB_2$  تولید شود.

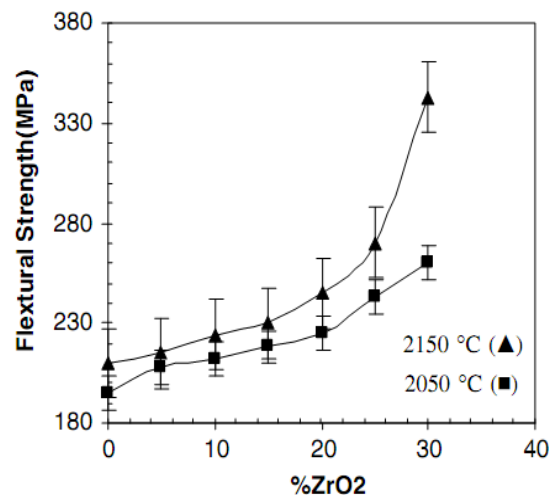
بر اساس گزارش این محققین با افزایش دمای سینتر از  $1800^{\circ}C$  تا  $2100^{\circ}C$ ، دانسیته متناسب با دما افزایش و با افزایش درصد  $TiB_2$  دانسیته نسبی کاهش می‌یابد. براساس نظر این محققین، کاهش دانسیته ناشی از کاهش کربن موجود در ساختار  $B_4C$  می‌باشد. این تفاوت‌ها در دمای  $1800^{\circ}C$  زیاد بوده ولی با افزایش دما به  $2100^{\circ}C$  این تفاوت‌ها از بین رفته و اثر افزایش  $TiB_2$  بر افزایش دانسیته نسبی کاهش می‌یابد [۴۹].

با بررسی تغییرات دانسیته نسبی بر حسب دما مشاهده شده است که در دمای  $2070^{\circ}C$  ارتباط ما بین درصد دانسیته نسبی و زمان به صورت خطی بوده و با افزایش زمان درصد دانسیته نسبی افزایش می‌یابد. ماکریزم دانسیته در این حالت ۹۲ درصد دانسیته تثویری می‌باشد. با افزایش دما به  $2100^{\circ}C$  مشاهده شده است که دانسیته قطعات حاوی  $TiB_2$  به صورت خطی با زمان افزایش یافته و سپس ثابت می‌شود. بر اساس نظر شورو و خود [۹] ثابت شدن دانسیته نسبی، ناشی از رشد دانه‌ها می‌باشد. در حالیکه در کامپوزیت فاقد  $TiB_2$  فرآیند رشد دانه‌ها کند است. با افزایش دما به  $2130^{\circ}C$  همچنان افزایش دانسیته ادامه داشته و حداکثر به ۹۷ درصد دانسیته تثویری می‌رسد. بالاترین مقدار دانسیته نسبی برای قطعات با ۵ درصد حجمی از  $TiB_2$  و پایین ترین مقدار برای قطعات فاقد  $TiB_2$  به دست آمده است.

### ۳- جمع‌بندی و نتیجه‌گیری

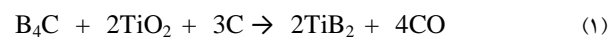
۱- استفاده از بورایدهای کمیاب (La,Ce,Gd) منجر به بهبود خواص مکانیکی سرامیک  $B_4C$  می‌شود. برای مثال،  $CeB_6$  حاصل از واکنش کاربید بور و Ce، شکلی ویسکر مانند داشته و در طول فصل مشترک  $B_4C$  رشد می‌کند. کاریدهای مختلف

تا ثیر افزودن  $ZrO_2$  بر استحکام خمشی نمونه‌ها نیز در شکل ۱۶ نشان داده شده که در اینجا نیز افزایش در استحکام خمشی بعنوان تابعی از درصد  $ZrO_2$  رخ می‌دهد و سهم چنین پدیده‌ای مشابه به آنچه که برای چرمگی است، مشاهده می‌شود [۷].



شکل (۱۶): تاثیر افزودن  $ZrO_2$  بر روی استحکام خمشی نمونه‌های سینتر شده در دمای مختلف [۷].

**۴-۵-۲- اثر افزودن  $TiO_2$  بر رفتار سینتر و خواص  $B_4C$**   
اثر افزودن همزمان C و  $TiO_2$  بر خواص سینتر  $B_4C$  توسط تعدادی از محققین بررسی شده است [۴۹ - ۵۰]. بر اساس نظر این محققین،  $B_4C$  با  $TiO_2$  با انجام واکنش ۱،  $TiB_2$  تولید می‌کند.



با انجام این واکنش ذرات ریز  $TiB_2$  با ابعاد کمتر از  $100\text{ nm}$  در مرز دانه‌های  $B_4C$  توزیع می‌گردند. ظهور این ذرات در مرز دانه‌ها سبب بهبود فرآیند انتقال جرم ما بین ذرات C شده و لذا دمای سینتر کاهش می‌یابد. در ادامه فرآیند رشد ذرات  $TiB_2$  اگرچه باعث افزایش استحکام و چرمگی شکست کامپوزیت می‌گردد ولیکن مقدار تنش‌های فشاری پسماند گرمایی را در زمینه  $B_4C$  افزایش می‌دهد [۴۹]. بنابراین حضور این ذرات

- [5] Goldstein, G. Ygal & G. Ayala, "Boron carbide–zirconium boride in situ composites by the reactive pressureless sintering of boron carbide–zirconia mixtures", American Ceramic Society, Vol. 84, pp. 642-644, 2004.
- [6] K. Knudsen & W. Rafaniello, "Titanium diboride/boron carbide composites with high hardness and toughness", U.S. Patent, Vol. 032, No. 5, pp. 242, 1991.
- [7] H. R. Baharvandi, "Investigation on addition of  $ZrO_2$  - 3mol%  $Y_2O_3$  powder on sintering behavior and mechanical properties of  $B_4C$ ", materials science, Vol. 41, pp. 5269-5272, 2006.
- [8] L. Levin, N. Frage & M. P. Dariel, "The effect of Ti and  $TiO_2$  additions on the pressureless sintering of  $B_4C$ ", Metallurgical and Materials Transactions, Vol. 30A, pp. 3201-3210, 1999.
- [9] V. V. Skorokhod, M. D. Vlajic & V. D. Krstic, "Pressureless Sintering of  $B_4C$ - $TiB_2$  Ceramic Composites", Materials science forum, Vol. 282, pp. 219-224, 1998.
- [10] G. N. Makarinko, "Borides of IVB Group", Boron and Refractory Borides. Springer Berlin Heidelberg, pp. 310-30, 1997.
- [11] D. K. Bose, K. U. Nair & C. K. Gupta, "Production of high purity boron carbide", High Temperature Materials and Processes, Vol. 7, pp. 133-140, 1986.
- [12] K. A. Schwetz & A. Lipp, "Boron Carbide, Boron Nitride and metal Borides", Uhlmann's Encycl. Indust. Chem., A4, ed. F. T. Cambell, R. Pfefrkorn and J. F. Rounsville, pp. 295-307, 1985.
- [13] Lipp, "Boron Carbide, Production, Properties and Applications", Technological Review, Vol. 14, pp. 28-33, 1995.
- [14] K. Suri, C. Subramanian, J. K. Sonber & T. S. R. Ch. Murthy, "Synthesis and consolidation of boron carbide: a review", Int. Mat. Rev, Vol. 55, 2010.
- [15] K. Silver, "Processing of Nano-Sized Boron Carbide Powder", M. Sc. Thesis University of Georgia Institute of Technology, 2007.
- [16] F. Lorenzo & W. Hankla, "Mechanical properties of particulate-reinforced boron carbide composites", M. Sc. Thesis University of South Florida, 2008.

بور نیز با مقادیر مختلف C درون و یا حول فصل مشترک  $CeO_2$  با  $B_4C$  در کامپویت تشکیل شده و باعث بهبود خواص مکانیکی کامپوزیت می‌شوند.

۲- افروden  $CeO_2$  آهنگ سیتر را نسبت به آنچه که برای  $La_2O_3$  است، بیشتر افزایش می‌دهد. در نتیجه سختی نمونه‌های  $CeO_2$  از سختی نمونه‌های  $B_4C$  -  $La_2O_3$  تولید شده بیشتر می‌باشد.

۳- سیترپذیری کاریبد بور با استفاده از افزودنی  $Al_2O_3$  به طور قابل ملاحظه‌ای افزایش می‌یابد که علت آن افزایش جریان پذیری عنصر در اثر حضور  $Al_2O_3$  در نزدیکی دمای ذوب یا واکنش‌های انجام یافته در مرز دانه‌ها است.

۴- با افروden  $ZrO_2$  به  $B_4C$ , سیترپذیری و خواص مکانیکی  $B_4C$  افزایش پیدا می‌کند. با افزایش مقدار  $ZrO_2$  چقرمگی می‌یابد که این موضوع مربوط به مقدار کمتر تخلخل، دانسته بالا و هم چنین حضور فاز  $ZrB_2$  در ریزساختار است.

۵- مطالعه تاثیر افروden  $Ti$  و  $TiO_2$  روی خواص سیترپذیری  $B_4C$ , نشان می‌دهد  $TiB_2$  در هر دو حالت تشکیل می‌شود. در واقع کربن موجود درون سیستم به عنوان عامل احیاء کننده عمل کرده و  $TiO_2$  موجود در سیستم پس از احیاء به  $TiB_2$  تبدیل می‌شود.

#### ۴- مراجع

- [1] L. Shi, et al., "A low temperature synthesis of crystalline  $B_4C$  ultrafine powders", Solid state communications, Vol. 128, pp. 5-7, 2003.
- [2] B. V. S. subba Rao et al., "Synthesis of High Purity Boron Carbide Powder", Ceramic Powders for High-tech Applications, John Wiley and sons Pub, New York, 2004.
- [3] F. Thévenot, "Boron carbide—a comprehensive review", European Ceramic Society, Vol. 6, pp. 205-225, 1990.
- [4] Sinha, T. Mahata, & B. P. Sharma, "Carbothermal route for preparation of boron carbide powder from boric acid–citric acid gel precursor", nuclear materials, Vol. 301, pp. 165-169, 2002.

- Eng. Mater., Vol. 352, pp. 207–212, 2007.
- [28] M. Zhang, W. Zhang, L. Gao & Y. Zhang, “Fabrication and Microstructure of  $B_4C$  Matrix composites by Hot-Pressing Sinter”, Advanced Materials Research, pp. 326-329 & 368-373, 2012.
- [29] D. C. Halverson, A. J. Pyzik & I. A. Aksay, “Processing and Microstructural Characterization of  $B_4C$ -Al Cermets”, Ceram. Eng. and Sci. Pro., Vol. 6, 1985.
- [30] N. Tuncer, B. Tasdelen & G. Arslan, “Effect of passivation and precipitation hardening on processing and mechanical properties of  $B_4C$ -Al composites”, Ceram. Int., Vol. 37, pp. 2861–2867, 2011.
- [31] M. Mashhadi, E. Taheri-Nassaj & V. M. Sglavo, “Pressureless sintering of boron carbide”, Ceram. Int., Vol. 36, pp. 151–159, 2010.
- [32] S. Lee & S. Kang, “Low-temperature processing of  $B_4C$ -Al composites via infiltration technique”, Mat. Chem. and Phys., Vol. 67, pp. 249–255, 2001.
- [33] G. Wen, et al., “Processing of in situ toughened BWC composites by reaction hot pressing of  $B_4C$  and WC”, Scripta materialia, Vol. 43, pp. 853-857, 2000.
- [34] S. S. OrdanÖyan, A. A. Boldin & E. V. Prilutskii, “Phase Relations in the  $B_4C$ - $W_2B_5$  System”, Zh. Prikl. Khim. (S.-Peterburg), Vol. 73, pp. 2042-2044, 2000.
- [35] D. D. Radev, Z. T. Zakhariev & M. A. Marinitch, “Corrosion resistance of  $B_4C$ - $Me_xB_y$  composite materials”, alloys and compounds, Vol. 196, pp. 93-96, 1993.
- [36] S. Sigl, “Processing and mechanical properties of boron carbide sintered with TiC”, European Ceramic Society, Vol. 18, pp. 1521-1529, 1998.
- [37] H. M. Greenhouse, E. O. Accountius & H. H. Sisler, “High-temperature Reactions in the System Titanium Carbide—Boron Carbide1”, American Chemical Society, Vol. 73, pp. 5086-5087, 1951.
- [38] obayashi, et al., “Formation and oxidation resistance of the coating formed on carbon material composed of  $B_4C$ -SiC powders”, Carbon, Vol. 33, pp. 397-403, 1995.
- [17] M. Aizenshtein, I. Mizrahi, N. Froumin, S. Hayun, M. P. Dariel & N. Frage: “Interface interaction in the  $B_4C$ /(Fe-B-C) system”, Mater. Sci. Eng, Vol. 495, pp. 70–74, 2008.
- [18] Mizrahi, A. Raviv, H. Dilman, M. Aizenshtein, M. P. Dariel & N. Frage, “The effect of Fe addition on processing and mechanical properties of reaction infiltrated boron carbide-based composites”, Mater. Sci., Vol. 42, pp. 6923–6928, 2007.
- [19] N. Frage, S. Hayun, S. Kalabukhov & M. P. Dariel, “The effect of fe addition on the densification of  $B_4C$  Powder by spark plasma sintering”, Powder Met. and Met. Ceram, Vol. 46, pp. 11-12, 2007.
- [20] Q. C. Jiang, et al., “Fabrication of  $B_4C$  particulate reinforced magnesium matrix composite by powder metallurgy”, alloys and compounds, Vol. 386, pp. 7-181, 2005.
- [21] P. Mogilevsky, et al., “Reactive formation of coatings at boron carbide interface with Ti and Cr powders”, European Ceramic Society, Vol. 15, pp. 527-535, 1995.
- [22] S. Ranganath, M. Vijayakumar & J. Subrahmanyam, “Combustion-assisted synthesis of Ti-TiB-TiC composite via the casting route”, Materials Science and Engineering, Vol. 149A, pp. 253-257, 1992.
- [23] F. Ye, Zh. Hou, H. Zhang & L. Liu, “Densification and Mechanical Properties of Spark Plasma Sintered  $B_4C$  with Si as a Sintering Aid”, Am. Ceram. Soc., Vol. 93, pp. 2956-2959, 2010.
- [24] M. Cocuzza, “Development of silicon and silicon carbide-based micro-electromechanical systems”, Ph. D. Thesis University of Politecnico di Torino, Torino, 2010.
- [25] R. Telle & G. Petzow, “Reaction Sintering of Boron Carbide ( $B_4C$ ) with Silicon and Titanium”, Horiz. Powd. Metall., Proc. Int. Powd. Metall. Conf. Exhib, Vol. 2, pp. 1155-1158, 1986.
- [26] M. Taylor, N. Falls & R. J. Palicka, “Dense carbide composite for armor and abrasives”, US patent, No. 3, pp. 765-300, 1973.
- [27] Z. F. Chen, Y. C. Su & Y. B. Cheng, “Formation and sintering mechanisms of reaction bonded silicon carbide–boron carbide composites”, Key

- 1245-53, 1991.
- [45] S. Sigle & H. J. Kleebe, "Microcracking in  $B_4C$ - $TiB_2$  Composites", Am. Ceram. Soc., Vol. 78, pp. 2374-2380, 1995.
- [46] L. S. Sigle & K. Schewetz, " $B_4C$ - $TiB_2$  Composite with Improved Fracture Resistance", Int. Symp. Boron and Related Compounds, Tsukaba, Vol. 10, pp. 224-225, 1994.
- [47] L. S. Sigle, "Microcrack Toughening in Brittle Materials Containing Weak and Strong Interface", Acta. Matallurgica, Vol. 44, pp. 9, 1996.
- [48] J. Liu & P. D. Ownby, "Boron Carbide Reinforced Alumina Composites", Am. Ceram. Soc., Vol. 74, pp. 674-679, 1991.
- [49] V. V. Shorokhod, M. D. Vlajic & V. D. Kristic, "Pressureless Sintering of  $B_4C$  -  $TiB_2$  Ceramic Composites", Materials Science Forum, Vol. 282-283, pp. 219-224, 1998.
- [50] S. Yamadaa, K. Hiraob, Y. Yamauchib & S. Kanzakib, "High Strength  $B_4C$ - $TiB_2$  Composites Fabricated by Reaction Hot-pressing", Eur. Ceram. Soc., Vol. 23, pp. 1123-1130, 2003.
- [39] G. Itaru, T. Akashi & T. Goto, "Characterization of directionally solidified  $B_4C$ -SiC composites prepared by a Floating Zone method", Materials Transactions, Vol. 43, pp. 2309-2315, 2002.
- [40] R. Doh-Hyung, et al., "Oxidation behaviour and strength of  $B_4C$ -30wt%SiC composite materials", materials science, Vol. 30, pp. 3897-3902, 1995.
- [41] H. W. Kim, Y. H. Koh & H. E. Kim, "Densification and Mechanical Properties of  $B_4C$  with  $Al_2O_3$  as a Sintering Additives", Ceram. Soc., Vol. 83, pp. 2363-65, 2000.
- [42] Sh. Sun, T. Sakamoto, K. Nakai, H. Kurishita, S. Kobayashi, J. Y. Xu, H. Cao, B. Gao, X. Bian, W. Wu, G. F. Tu & S. Matsuda, "Microstructures and mechanical properties in  $B_4C$ - $CeO_2$  ceramics", Nuclear Materials, Vol. 417, pp. 663-667, 2011.
- [43] T. Sakamoto, Sh. Ch. Sun, T. Furuno, M. Kajioka, K. Nakai, H. Kurishita, S. Kobayashi, W. Y. Wu, G. F. Tu & S. Matsuda, "Microstructural analyses of  $B_4C$ - $CeO_2$  and  $B_4C$ - $La_2O_3$  ceramics", Nuclear Materials, Vol. 417, pp. 659-662, 2011.
- [44] J. Lin & P. D. Ownby, "Physical Properties of Alumina-Boron Carbide Whisker/Particle Composite", Ceram. Eng. Sci. Proc., Vol. 12, pp.

## ۵ - پی نوشت

- [1] m\_shakoori66@yahoo.com
- [2] minasaeedi85@gmail.com
- [3] baharvandee@yahoo.com
- [4] Sakamoto
- [5] Kim
- [6] Sigle
- [7] Shorokhod